

北海道大学工学部 正員 尚 良 久
佐伯 昇

1. まえがき

著者らはコンクリート中の骨材とモルタルマトリックスとの界面の付着強度は Mohr-Coulomb の破壊包絡線によって表示することができ、それは骨材の物理的性質（特に表面粗度）と密接な関係があるが同時に骨材の近傍のモルタルマトリックスの強度特性の影響も受け、界面における圧縮応力の大きさにより異なる破壊のパターンを示すことを報告した¹⁾。本研究はモルタルマトリックスおよび界面の破壊包絡線を別々に求め、2つの破壊包絡線の関係より破壊のパターンの移行を明確にして界面の破壊特性について論じるものである。

2. 実験概要

マトリックスとしてセメントは普通ポルトランドセメント、細骨材には豊浦産標準砂を用いたモルタル ($S/C=2$) と、粗骨材として北海道静内川産玉石砂利 ($\phi=20 \sim 60\text{cm}$) より必要な大きさにダイヤモンドカッターにて切り出したものを用いて打設して後、28日間水中養生して成形し図-1に示すような界面モデル供試体を作製した。モルタルのみの破壊包絡線測定用供試体は図-1の骨材部分も全てモルタルとしたものである。またブリーチングの影響による界面破壊包絡線の違いを見るためモルタルの打設方向は図-1に示すように N 方向および I 方向の 2 方向についてを行なった。すなわち界面がブリーチングの影響を受ける場合 (N 方向)、受けない場合 (I 方向) である。尚、用いた各粗骨材およびモルタルの圧縮強度、ヤング率、表面粗度（ダイヤモンドカッターで切断後 #80 カーボンダムで定常状態になるまで傷をつけたもの）は表-1 に示す通りであった。

このようにして作製された各供試体は図-2 に示す載荷装置にて、圧縮力、せん断力を X-Y レコーダーに記録させ、その比が一定となるように調整しながら載荷し破壊時の圧縮応力およびせん断応力を求めた。

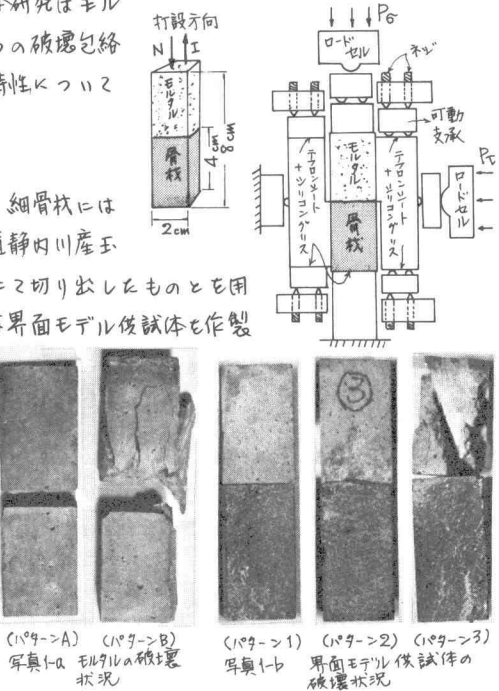
3. 実験結果および考察

3-1. モルタルの破壊包絡線

モルタルの圧縮-せん断試験の結果供試体は写真-1-a, b に示すようにせん断面で破壊するもの (パターン A) と圧縮破壊するもの (パターン B) の 2 つのパターンで破壊した。図-3 はパターン A, B を区別して結果をプロットしたものである。モルタルの破壊包絡線の式は一般に $\tau = f(\sigma)$ で表わされその関数形は明確にされていない。よって本研究では最良近似の項式計算の結果に従い 4 次の多項式によって表わされる曲線を描いた。パターン B は本実験の載荷方法によりせん

	G_B kg/cm^2	E kg/cm^2	表面粗さ R_{max} μm	R_{min} μm	γ_A
骨材	1	1525	544	61	45
	2	1240	407	87	61
モルタル	$W/C=0.50$	338	306	$R_{max}, R_{min}, \gamma_A$	
	$W/C=0.65$	236	237		

表-1 骨材およびモルタルの物理的性質



(1-a-1) (1-a-2)
写真-1-a モルタルの破壊状況

(1-1) (1-2) (1-3)
写真-1-b 界面モデル供試体の破壊状況

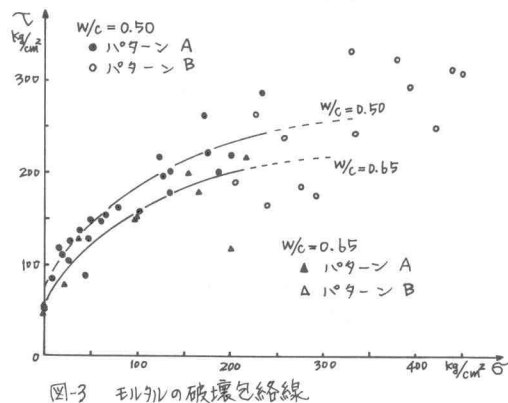


図-3 モルタルの破壊包絡線

断面にあり破壊応力状態に達する以前にモルタル内の別の面で破壊が生じる場合であり別の試験方法によりデータが得られれば破壊包絡線は延長されるものと思われる。

3-2. 界面破壊包絡線とモルタルの破壊包絡線との関係

界面モデル供試体も実験の結果写真1-1に示すように界面とのもので破壊するもの(パターン1), 界面にあり程度モルタルが付着しており部分的には界面近傍のモルタルで破壊が生じたと思われるものの(パターン2), モルタル部で圧縮破壊したもの(パターン3)の3つの破壊パターンに分類された。図-4-1~5はパターン1,2,3を区別してプロットし、パターン1,2について各々の破壊包絡線は $T = C + G \tan \theta$ の直線式で表現できることとして最小2乗法によって求められた破壊包絡線とモルタルのみの破壊包絡線との関係を示したものである。これらをまとめると次のようになる;

(1) パターン1の破壊包絡線は打設方向Nの場合、骨材の違いによる差はほとんど認められないがモルタルマトリックスの強度が弱くなると付着力は小さくなり内部摩擦角はほとんど変化しない。(2) 打設方向Iの場合、パターン1の破壊は圧縮応力が極めて小さい時に限りおり、骨材の表面が粗い程その傾向が大きく見られる。これはグリッジングの影響を受ける界面の場合、骨材の界面近傍のモルタルマトリックスの強度が非常に小さいために界面付着強度はほとんどモルタルマトリックスの破壊包絡線によらず支配されていくためと考えられる。

(3) 図-4-1~5中の θ_{CPB} はコンクリート中の骨材が円柱と考えた2次元コンクリートモデル供試体の圧縮試験において図中に示すように圧縮力の方向と界面とのもので破壊する臨界点との角度であり、また θ_{CPM} はモルタルマトリックスへクラックが伝播する臨界角である。 $\theta_{CPB}, \theta_{CPM}$ はモルタルマトリックスの強度、打設方向および骨材の物理的性質により変化していく。

4. 文献 (1) 第32回年講5部、奈良林、佐伯「骨材とマトリックスとの界面の壊壊性状に関する実験的研究」

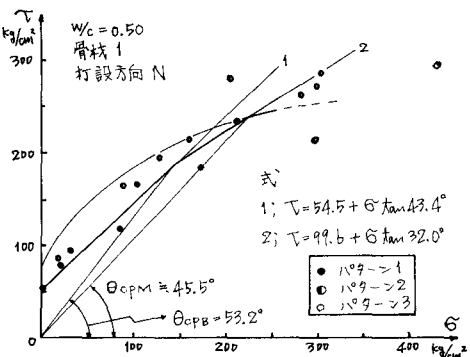


図-4-1 界面破壊包絡線
(グリッジングの影響を受けてない場合)

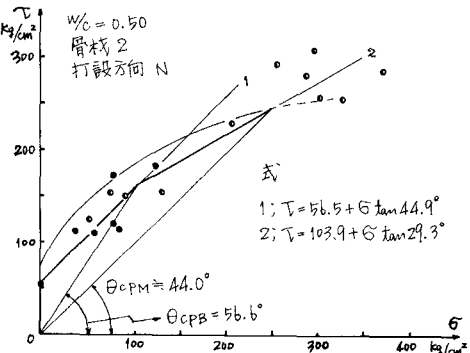


図-4-2 界面破壊包絡線
(グリッジングの影響を受けてない場合)

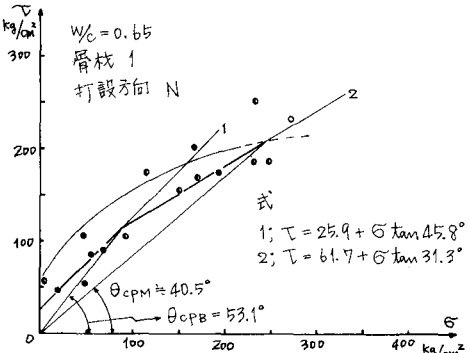


図-4-3 界面破壊包絡線
(グリッジングの影響を受けている場合)

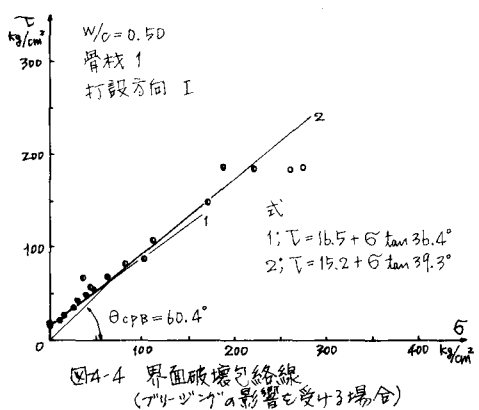


図-4-4 界面破壊包絡線
(グリッジングの影響を受けている場合)

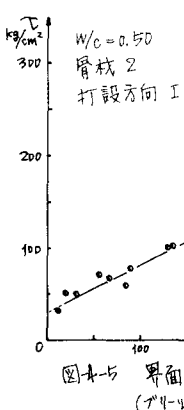


図-4-5 界面破壊包絡線
(グリッジングの影響を受けている場合)

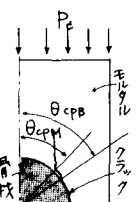


図-5 $\theta_{CPB}, \theta_{CPM}$